A DESMAR FOR A STABILIZED TRANSISTOR ELECTRONIC CIRCUIT FOR STANDARD NEUTRON MONITORS (การสร้างวงจรอีเอ็คโทรนิกชนิกทรานซีสเตอร์ที่มีเสลียรภาพสำหรับใช้กับเครื่อง นิวตรอนมอนิเตอร์แบบมาตรฐาน)

by .

Pisistha Ratamavararaksa

E.Sc(Hons.), Chulalongkorn University, 1968

668990

## Thesis

.Submitted in partial fulfillment of the requirements for the

Degree of master of Science

1n

The Chulalongkorn University Graduate School

Department of Physics

May<sub>s</sub> 1970

(B.E. 2513)

Accepted by the Graduate School, Chulalongkorn Undversity in partial fulfillment of the requirements for the Degree of Master of Science.

T. Milanide

Dean of the Graduate School



Chaisman Theses Committee..

000

mass Supervisor ..... 0 200 2 9 2 0 0 0 0 0 

## ABSTRACT

The study of cosmic rays in Thailand is of special interest, because of the high rigidity outwoff in this region. A standard type neutron monitor was constructed at the Physics Building of Chulalongkorn University to investigate the cosmic radiation intensity-time variation. Most of the detection systems consist of transistor circuits.

Stability of the circuits is the most important aim of the project. Biasing conditions must be maintained despite variations in ambient temperature and variations of gain and leakage current between transistors of the same type. Monstabilizing circuits can cause the recorder to record undesired signals. The data obtained will be useless unless the circuits are stable enough.

The circuits consist of a pre-preamplifier, preamplifier, amplifier, discriminator and amplifier shaper which were constructed on plastic sheets. All components used can be found easily in Thailand. It is not difficult to change any part when it is out of order.

The amplifying part has an almost constant gain of about 13 X 10<sup>4</sup> and a linearity factor of about 2.1%. The gain is decreased by 3.2% by the temperature effect in going from  $25^{\circ}$ c to  $40^{\circ}$ c and is increased by 2.6% by the change to another set of the same type of transistors. Its gain increases about 3% in the power supply range of 19 to 23 volts. The slope of power supply voltage to input voltage obtained is about  $1\sqrt[4]{14}$  to maintain the output after the discriminator constant.

iii



การศึกษารังสีดอสมิกในประเทศไทยเป็นนี้น้ำสนใจเป็นพิเศษ เพราะว่าอณุกาค พี่จะเข้ามาได้ต้องมีพลังงานสูง ได้มีการสร้างนิวตรอบมอนิเตอร์แบบมาตรฐานสิ้นที่ตัก พิสิกส์ จุฬาลงกรณหาวิทยาลัย เพื่อที่จะศึกษาการเปลี่ยนแปลงความเข้มของการแฒ่ รังสีดอสมิล

ควานเสถียรภาจของวงจรอีเล็จโทรนิก เป็นสิ่งสำคัญที่สุดในงานดังกล่าว ค่าไป แอส (biasing conditions) ของทรานซีสเตอร์ในวงจรต้องไม่เปลี่ยน แปลง แม้อุญหภูมิหรือเกน (gain) และอีกเกจคะเร็นท์ (leakage current) ระหว่างทรานซีสเตอร์ขนิดเฉียวกันจะเปลี่ยนแปลงไปก็ตาม วงจรที่ไบ่เสถียรภาพ สามวรถทำใน้ตัวมันทึก บันทึกฮัณญาณที่ไม่ก้องการได้ ข้อมูลที่ได้จะไรประโยชน์ ถ้าหาก วงจรดังกล่ำวเสถียรกาพไม่ขอ

วงจรที่สู้รางขึ้นประกอบค้วย พรี-พรี แอมพลิไฟเออร์ พรีแอมพลิไฟเออร์ แอมพลิไฟเออร์ คิสครีมมิเนเตอร์ (discriminator) และแอมพลิไฟเออร์ เทปเปอร์ ส่วนประกอบตั้งหมดใช้เฉพาะที่อ่างารถหาไค้ง่ายในประเทศไทย เพื่อความสะควกในการ เปลี่ยนส่วนประกอบ ในกรณีที่มีส่วนใคล้วนหนึ่งเสีย

ร่งนี่ชยายทั้งหมกมีกำลังอยายประมาก 13 x 10<sup>4</sup>เท่า และมีลิเบียลิที้ แห่ลเตอร์ (linearity factor) ประมาณ 2.1% กำลังขยายลุกลง 3.2% เมื่ออุฒหภูมิ เปลี่ยนจาก 25<sup>C</sup> c เบ็น 40<sup>C</sup> c และเช็ม 2.6% เมื่อเปลี่ยนทรานซีสเตอร์ชุดใหม่ โดยใช้หรานซีสเตอร์ชนิดเดิม กำลังขยายเชิ้มประมาณ 3% ในช่วงเขาเวอร์ ฮัพพธาย 19-23 โว้ลท์ สโลพของเพาเวอร์ ซัพซลาย ไว้ลท์เตจต่ออินพุห ไว้ลท์เตจ มีก่าประมาณ 1 โจ้ลท์ /14 ไม*่* ครโว้ลท์ เชื่อหีจะให้เอ้าพุทจากศิลกริมมิเนเตอร์คงที่

(ii**i**)

## ACKNOW/LEDGEMENT

The author wishes to express his sincere appreciation to Mar. Sonchai Thayarnyong and Mr. Likit Shutrasakul for their advice and guidance given throughout the course of nesearch.

The author is also indebted for the financial support given by the Graduate School, Chulalongkorm University.

It should also be mentioned that the author is indebted to Professor Dro Peng Somanabhandha, head of the Physics Department for his interest in the subject.

Pisistha Ratamayararaksa

CONTENTS	
Abstract	Page iii
Acknowledgement	iv
List of Thes.	viii
List of Ellustrations	ix
Chapter I Introduction occoso control	1 <b>-4</b>
1.1 Cosmic radiation	1
1.1.1 The meson component	1
1.1.2 The soft component	2
1.1.3 The nucleon component	2
1.2 Neutron monitor	3
1.3 The necessity of stabilized circuit	4
Chapter II General Comsiderations on Electronics	
for Neutron Monitor and Theory of Stabilized	
Transistor circuit	5-21
2.1 Nature of the pulse input signal and	
requirements for pulse shaping	5
2,2 Pulse-amplifier requirements	5
2.3 Bias stability	8
2.4 The leakage current $I_{CBO}^{************************************$	9
2.5 Stability factors	9
2.6 Direct-coupled amplifier circuits	10
2.6.1 Problem of drift	11
2.6.2 Multistage stability considerations	12

	vi
2.7 Feedback amplifiers	page 12
2.8 Comparison of stability factors involving	
feedback	16
2.8.1 Fixed biasing.cosococcoscosco.e.	16
2₀8₀2 Current=feedback biasing.coc	18
2.8.3 Voltage=feedback biasing	18_1
2.8.4 Combination current-voltage feedback	
biasing.co.co.u	18
2.9 Bias compensation	19
2.10 Temperature compensation of d-c amplifiers	
by suitable arrangement	.20
2.11 Half power supply voltage principle.dodod	21
Chapter ILI The Apparatus and Constructed Circuit	22 <b>-</b> 28
3.1 General view of the apparatus	, 22
3.2 Neutron pile	, 24
3.3 Electronic circuits	25
3.3.1 Pre⇒preamplifier	26
3.3.2 Breamplifier	30
3.3.3 Amplifier	30
	34
3.3.5 Amplifier sharersoccoccostsoccoccosts	37
Chapter IV Results and Conclusion,	<u>39</u> ⊶56
4. 1 Introduction occorressons and an and a second a se	39

	vii
	Page
4.2 Experiment	40
4.3 Conclusion	54
References	58

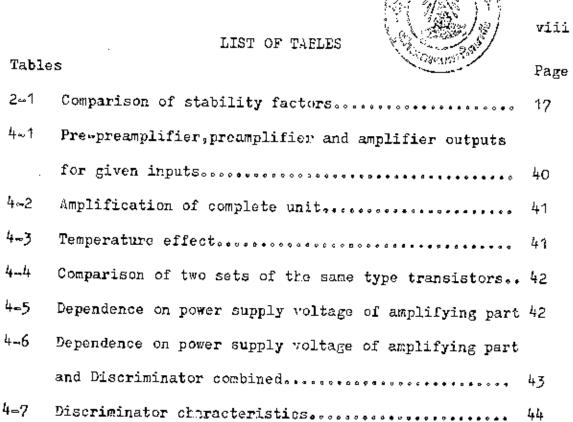




Fig	LIST OF ILL'ISTRATION	Page
2-1	Equivalent circuit of a pulse input circuit and	
	pulse amplifier	6
2 <del></del> 2	Input circuit for use with BF_counter	6
2-3	Input circuit for use in the analysis of pulse	
	input signals	6
2~4	Shift of operating point	9
2-5	Simple dec transistor amplifier with two	
	common-amitter stage	11
2–6	Block diagram of voltage=feedback network	13,
2-7	Block diagram of current-feedback network	14
2-8	Shunt feedback	15
2⊶9	Series feedback	16
	(a)Multistage series feedback	16
	b)Multistage shunt feedback	16
2 <b></b> 11	Graphical depiction of operating point control	
	due to $V_{C\Sigma}$ variation	18
2-12	Diode compensation	19
213		20
2-14	stabilization	
		21
3-1	Block diagram of the apparatus	24

ix

## Figure

.

3≂2	A simplifying drawing giving a front view of the
	frame construction of the standard neutron monitor 24
3-3	Pre-preamplifier circuit
3∞4	Amplifier circuitogooocoocoocoocoocoocoocoocoocoocoocooco
3≏5	Discriminator circuit
36	Amplifier shaper
4 <b>⇒1</b>	Pre-preamplifier characteristics
4-,2	Preamplifier characteristics
43	Amplifier characteristics
4_4	Characteristics of the pre-preamplifier,preamplifier
	and amplifier combined
4⊷5	Temperature effect
4-6	Comparison of two sets of the same type transistor 50
47	Output & Voltage supply
4⊶8	Characteristics of the amplifying part and
	discriminator combined.composition
4-9	Discriminator characteristics